

FIG. 1

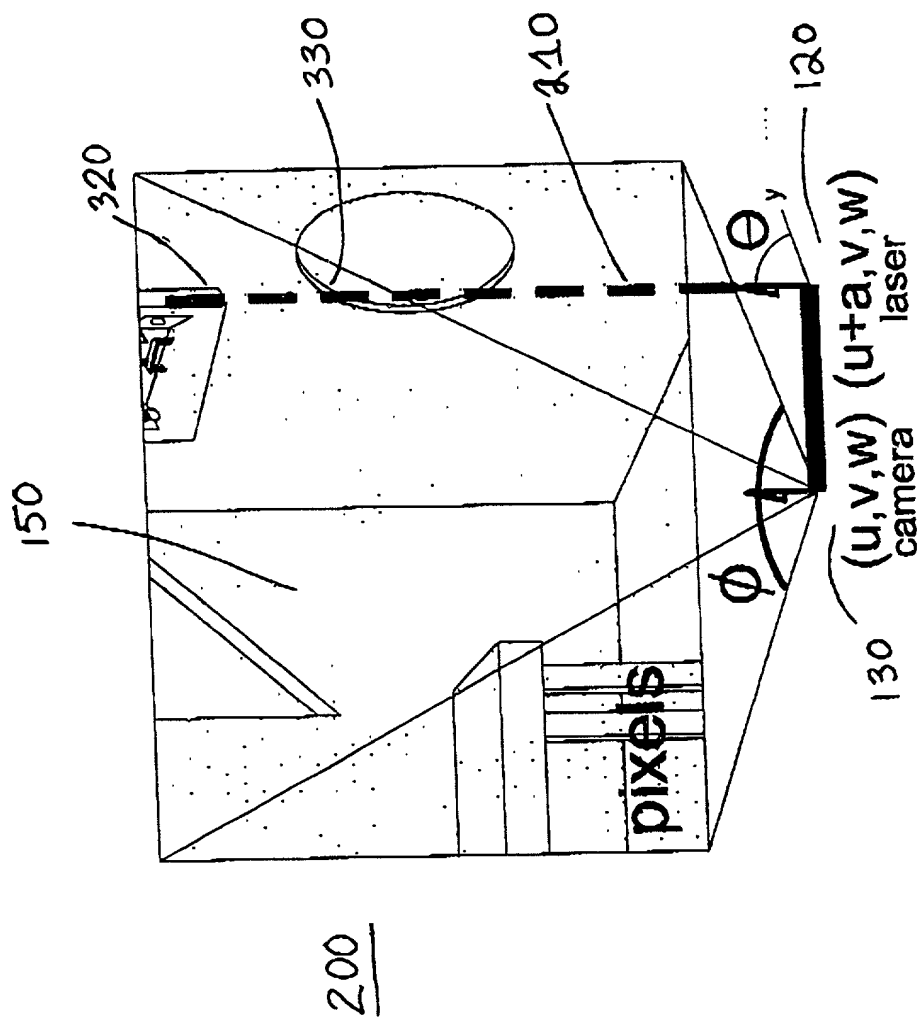


FIG. 2

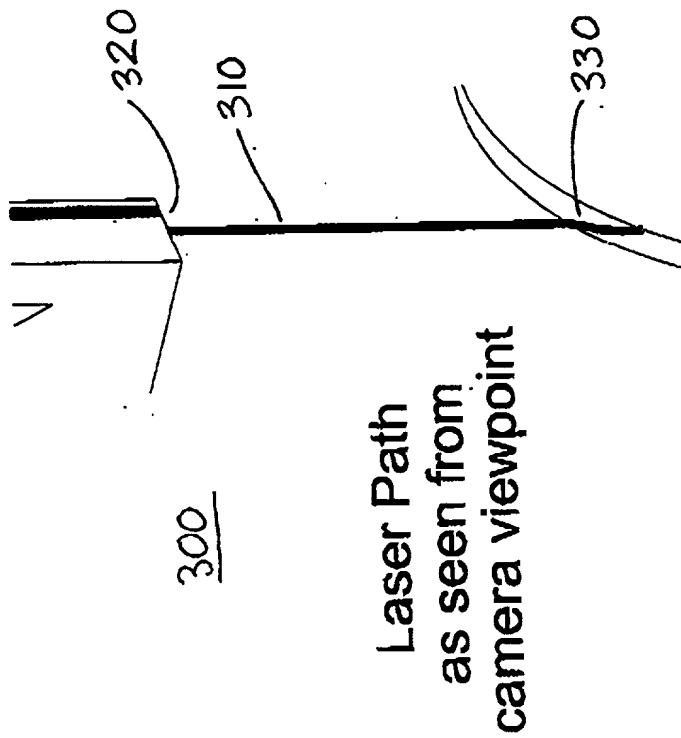


FIG. 3

400

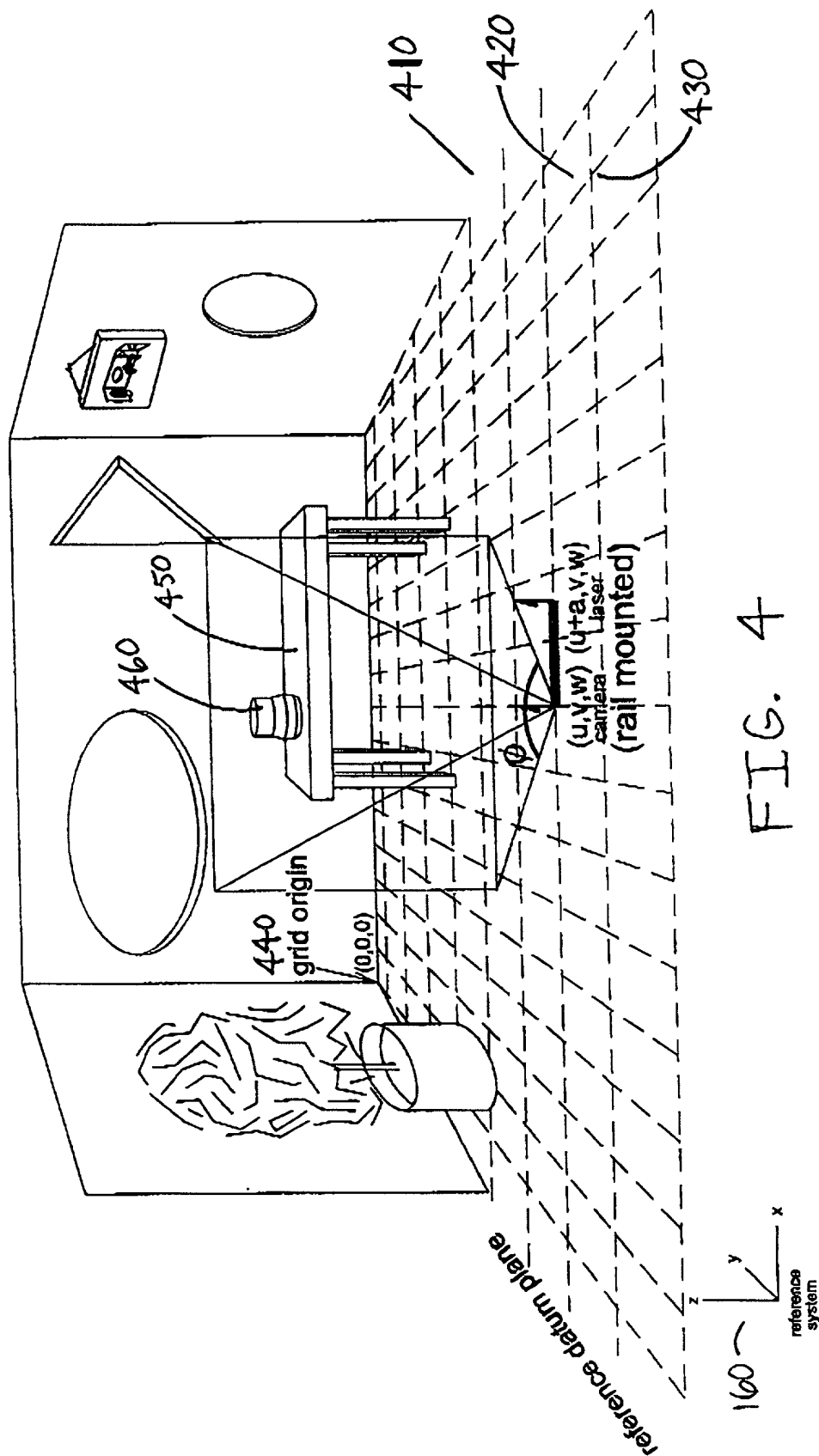


FIG. 4

500

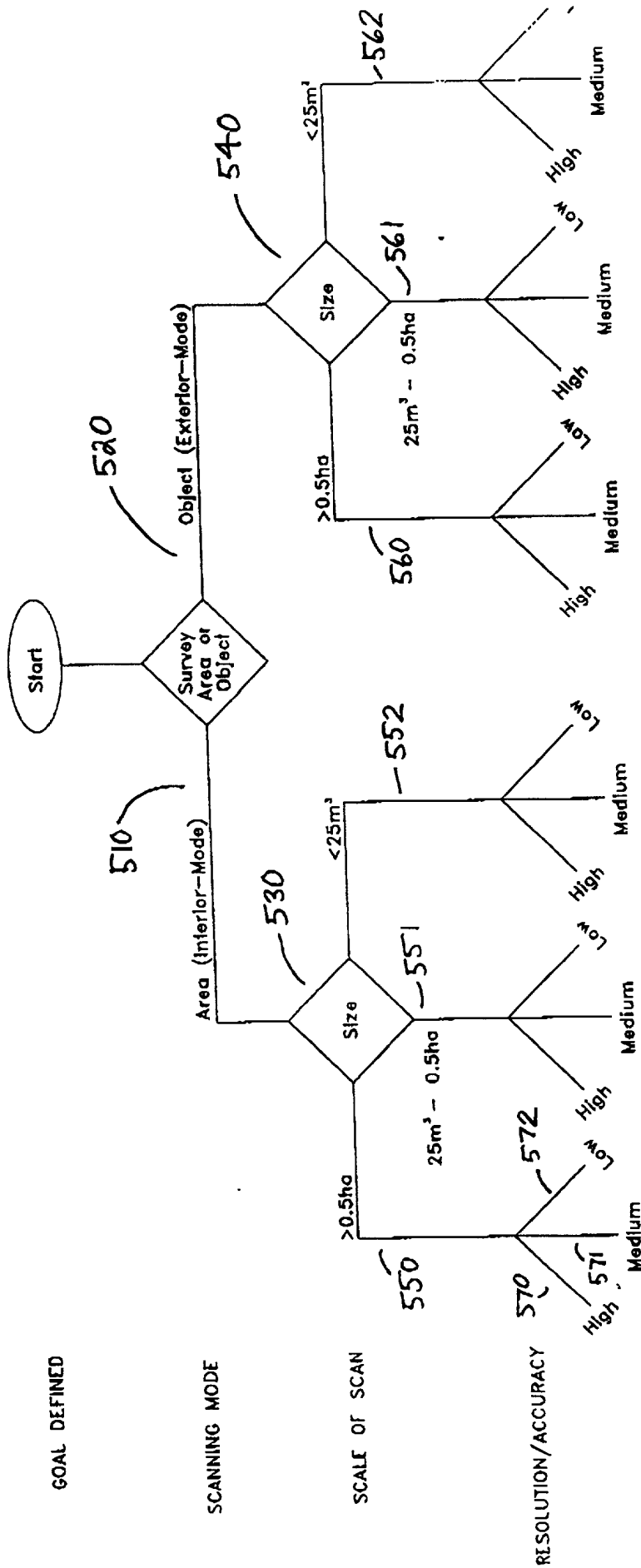
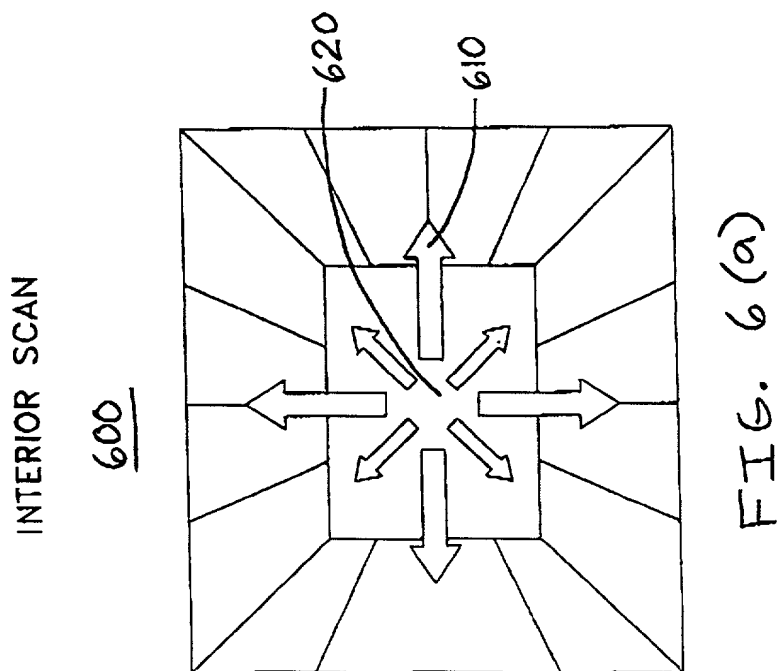
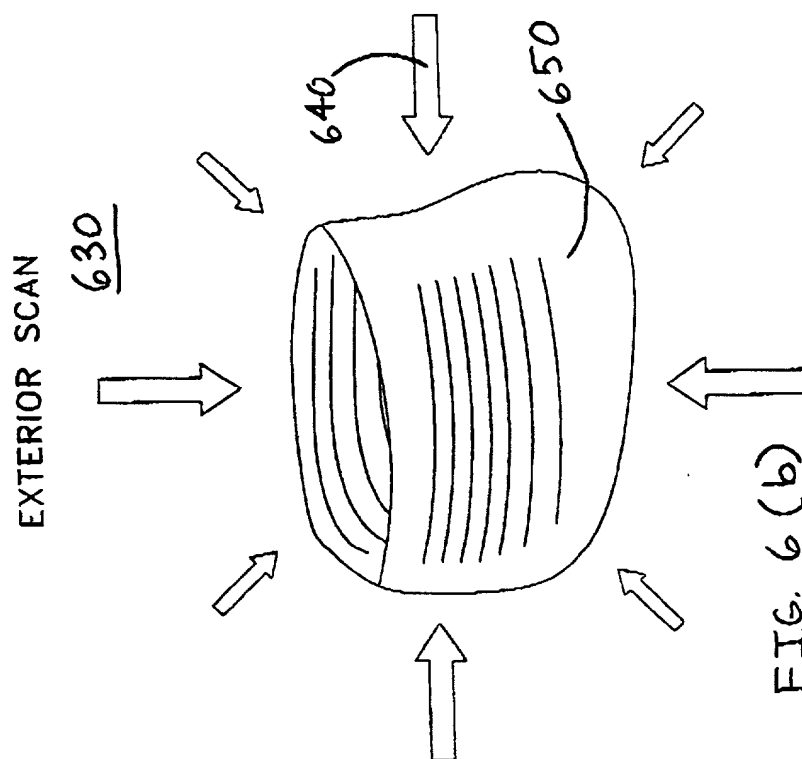


FIG. 5



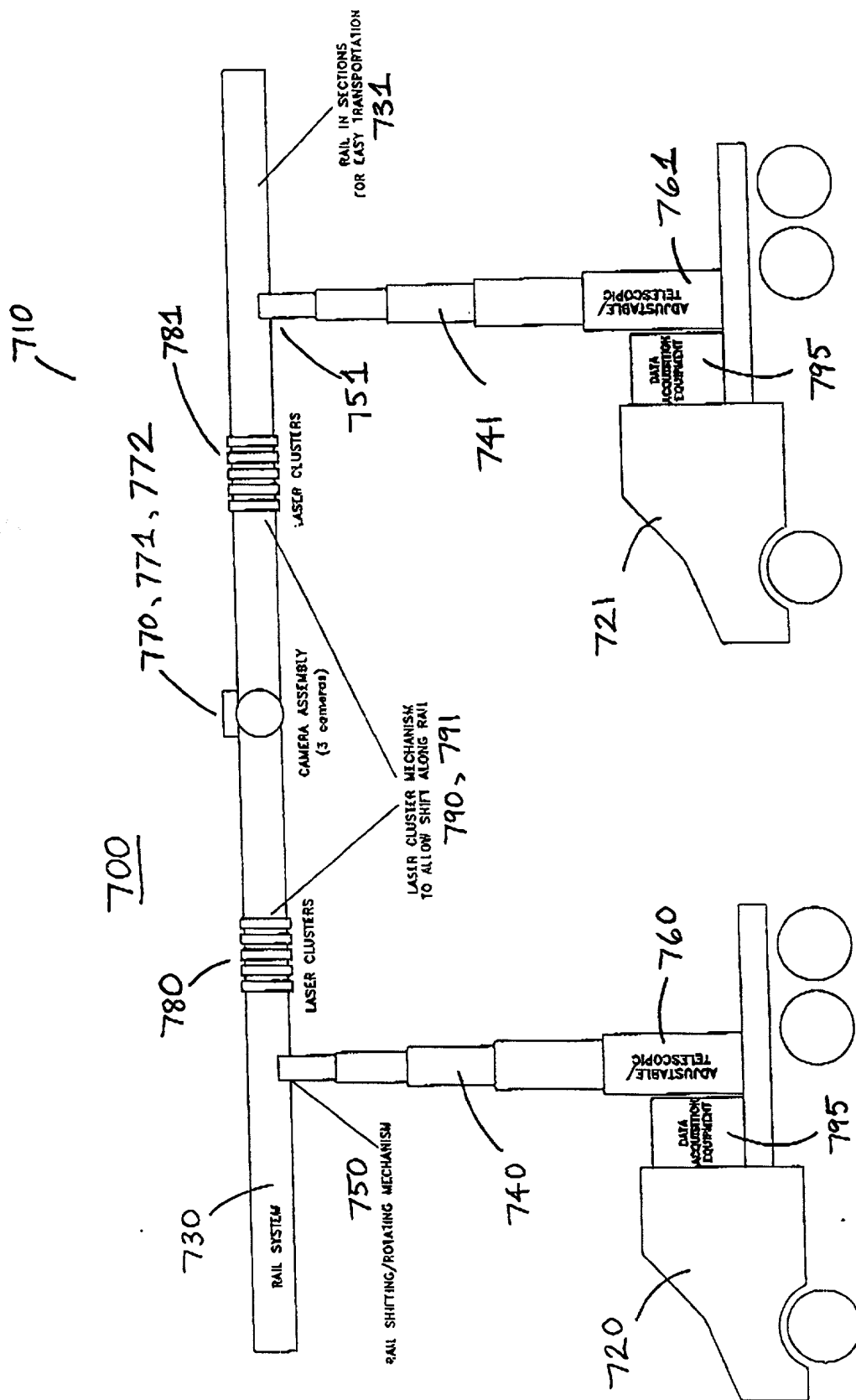


FIG. 7

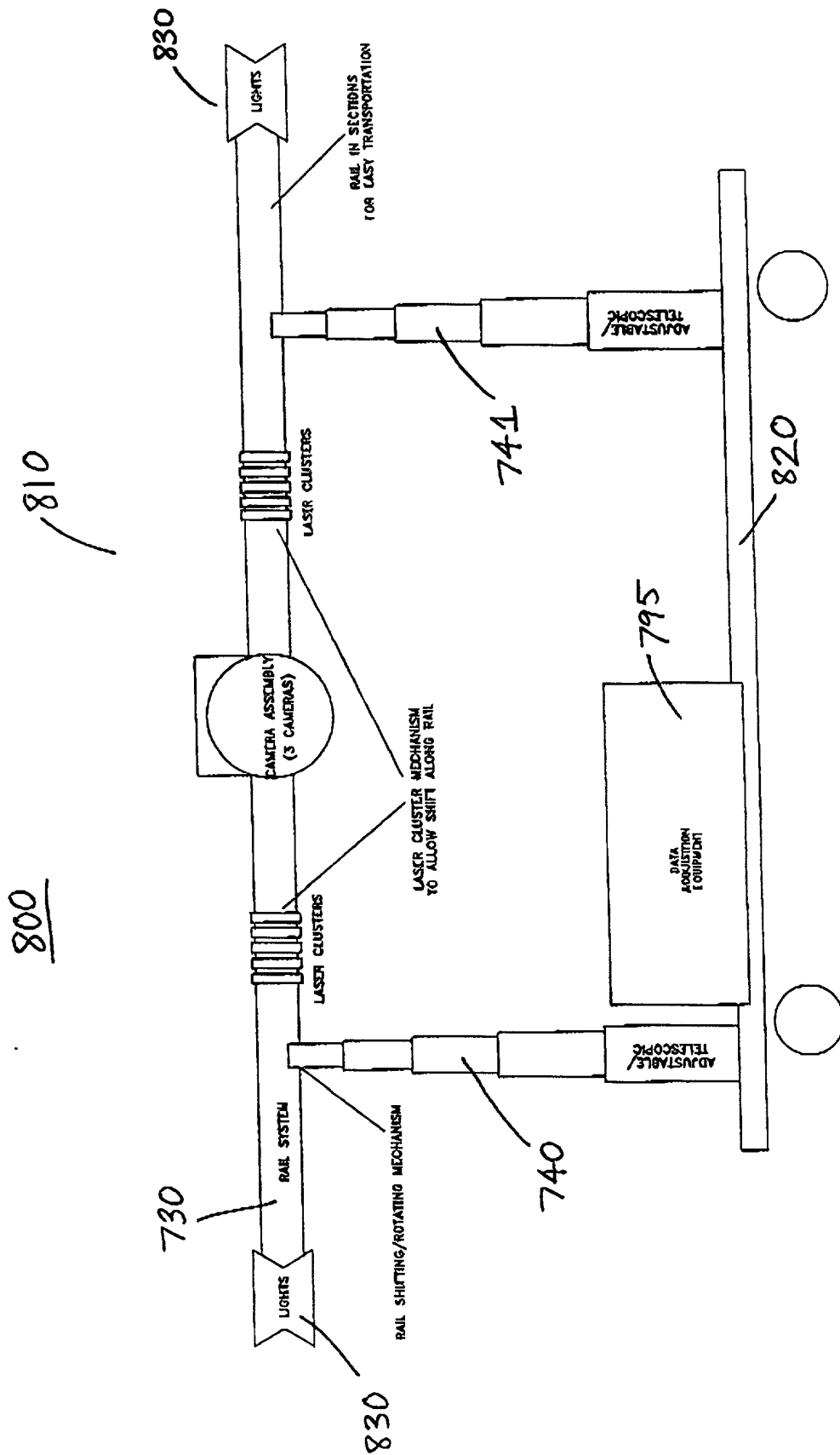
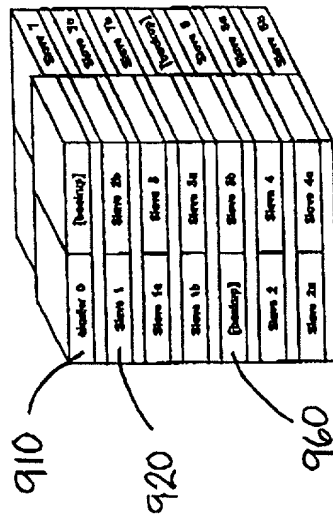


FIG. 8

FOOTNOTES

PHYSICAL STACK

900



950

NODE CONNECTIONS

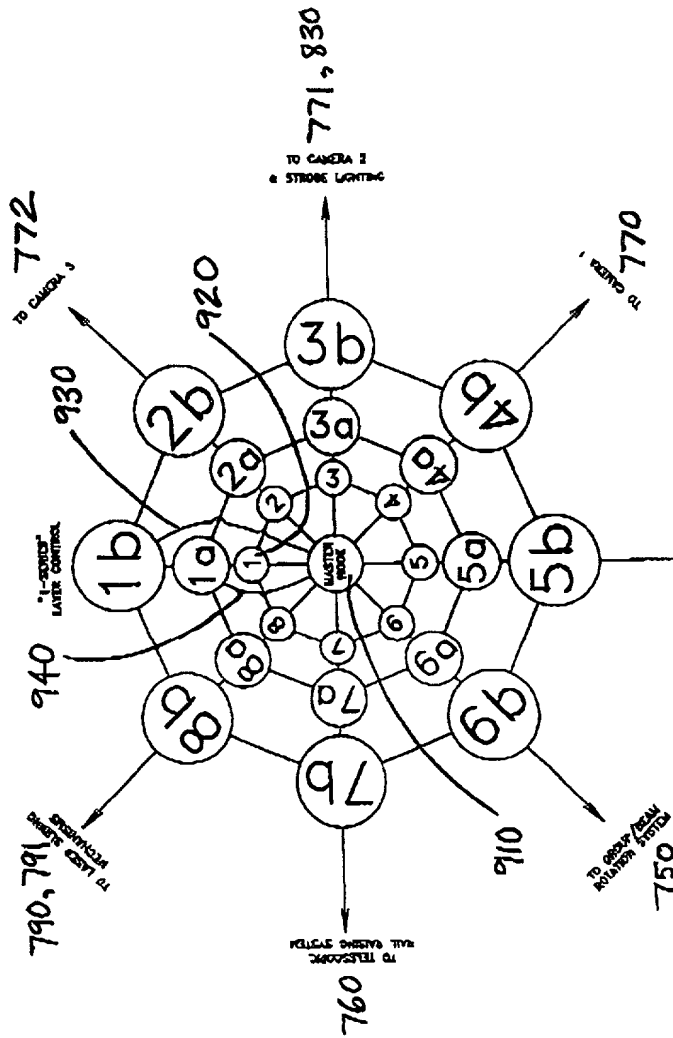


FIG. 9(a)

FIG. 9(b)

1000

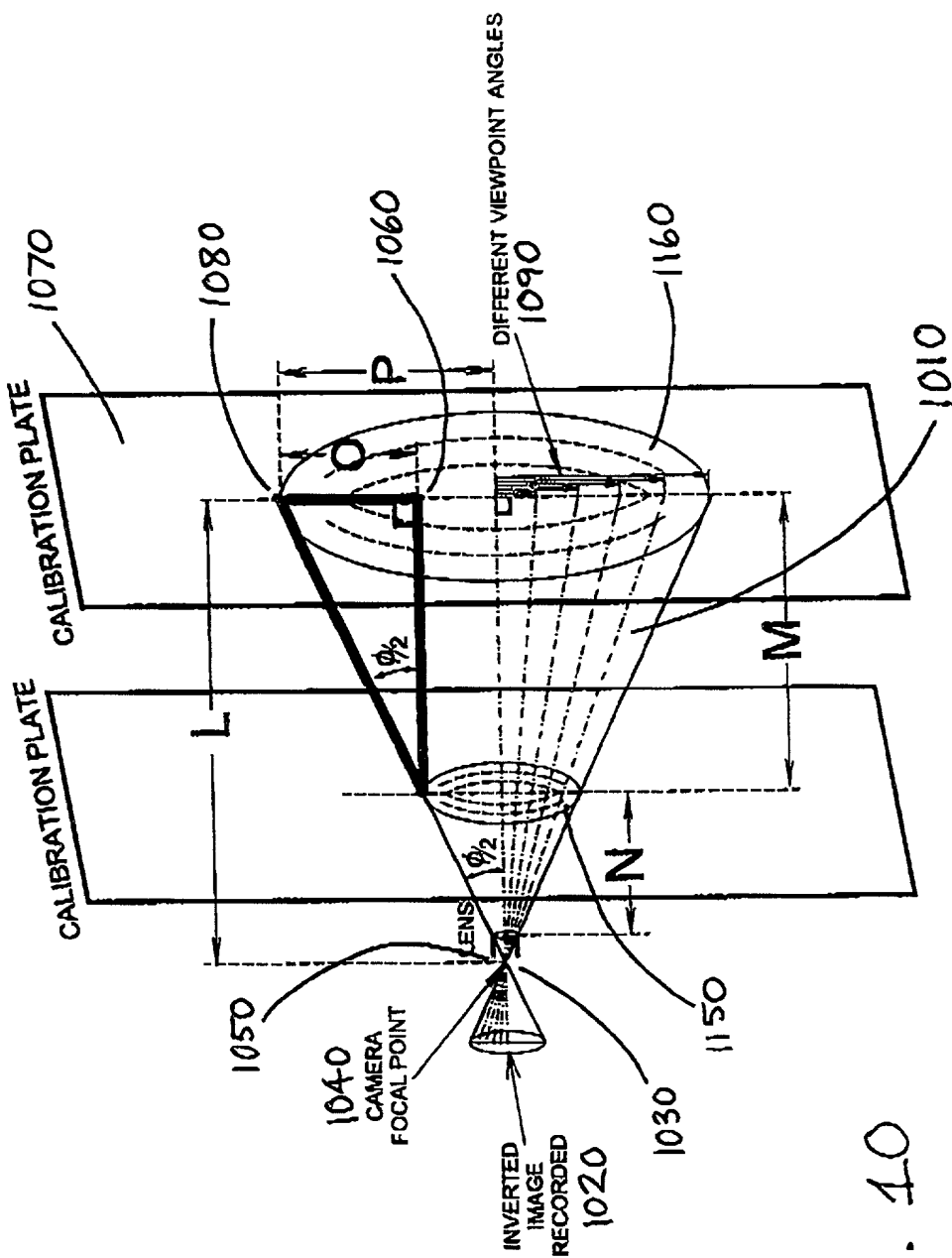


FIG. 40

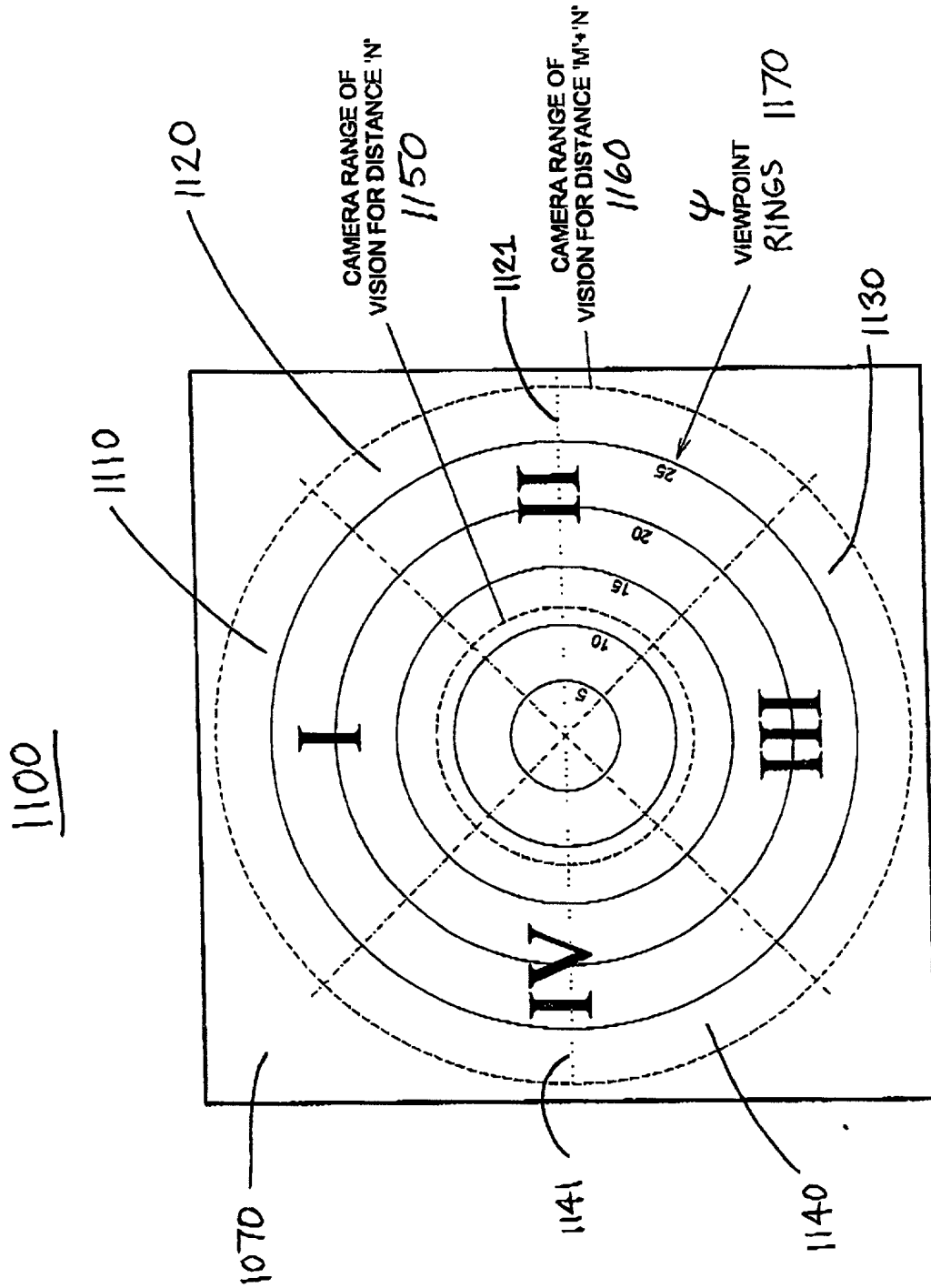


FIG. 11

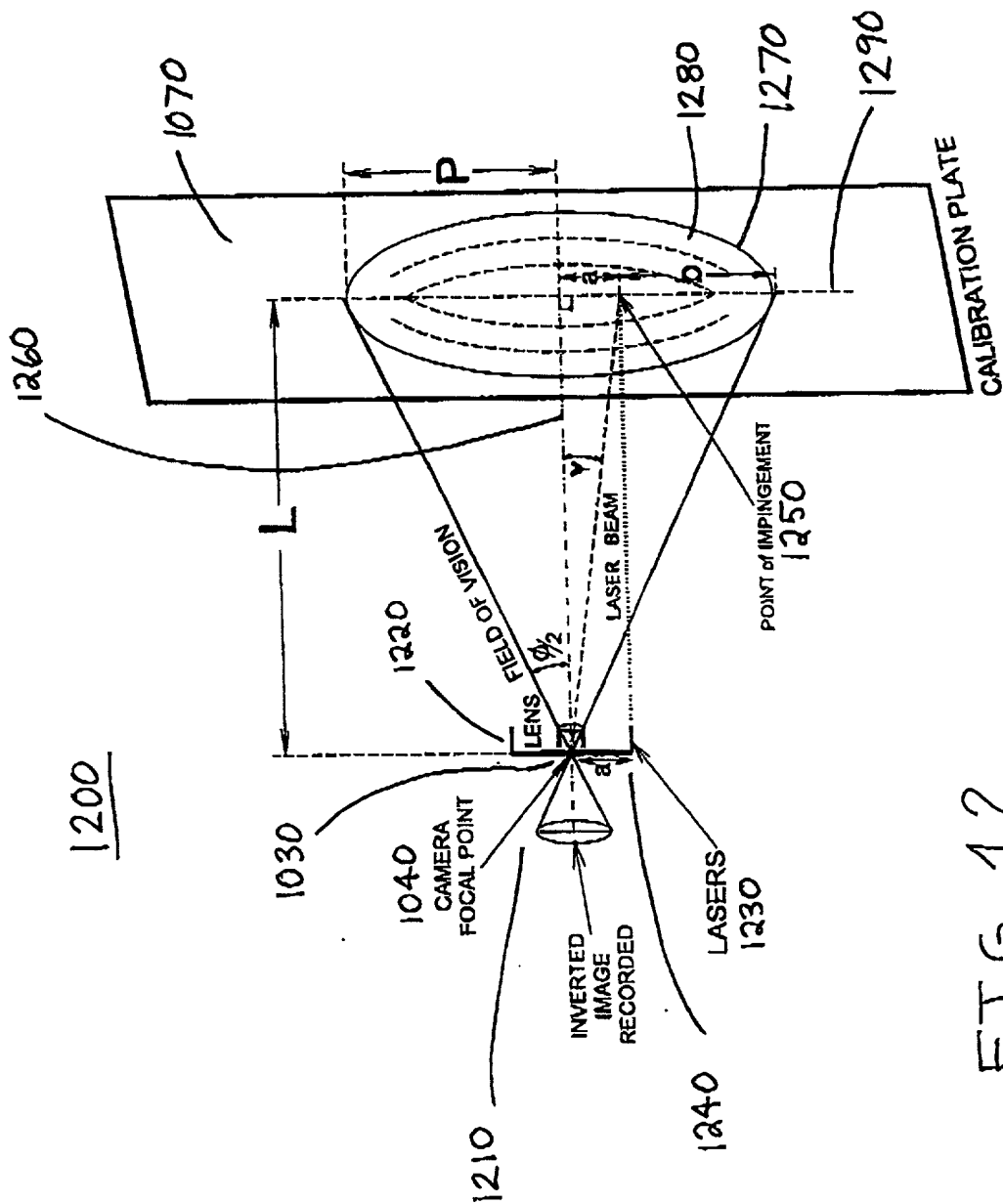


FIG. 12

FIG. 13

1300

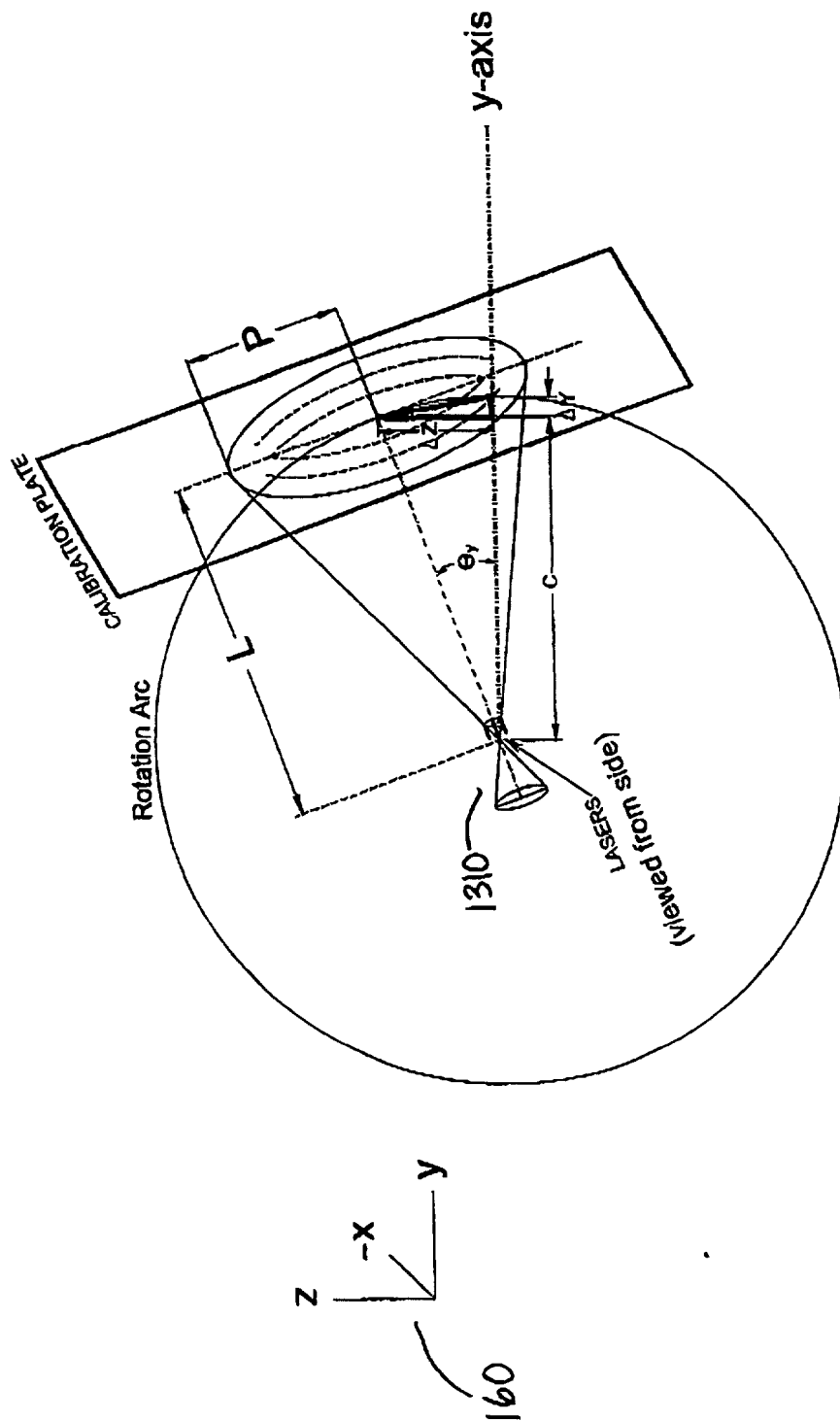


FIG. 13

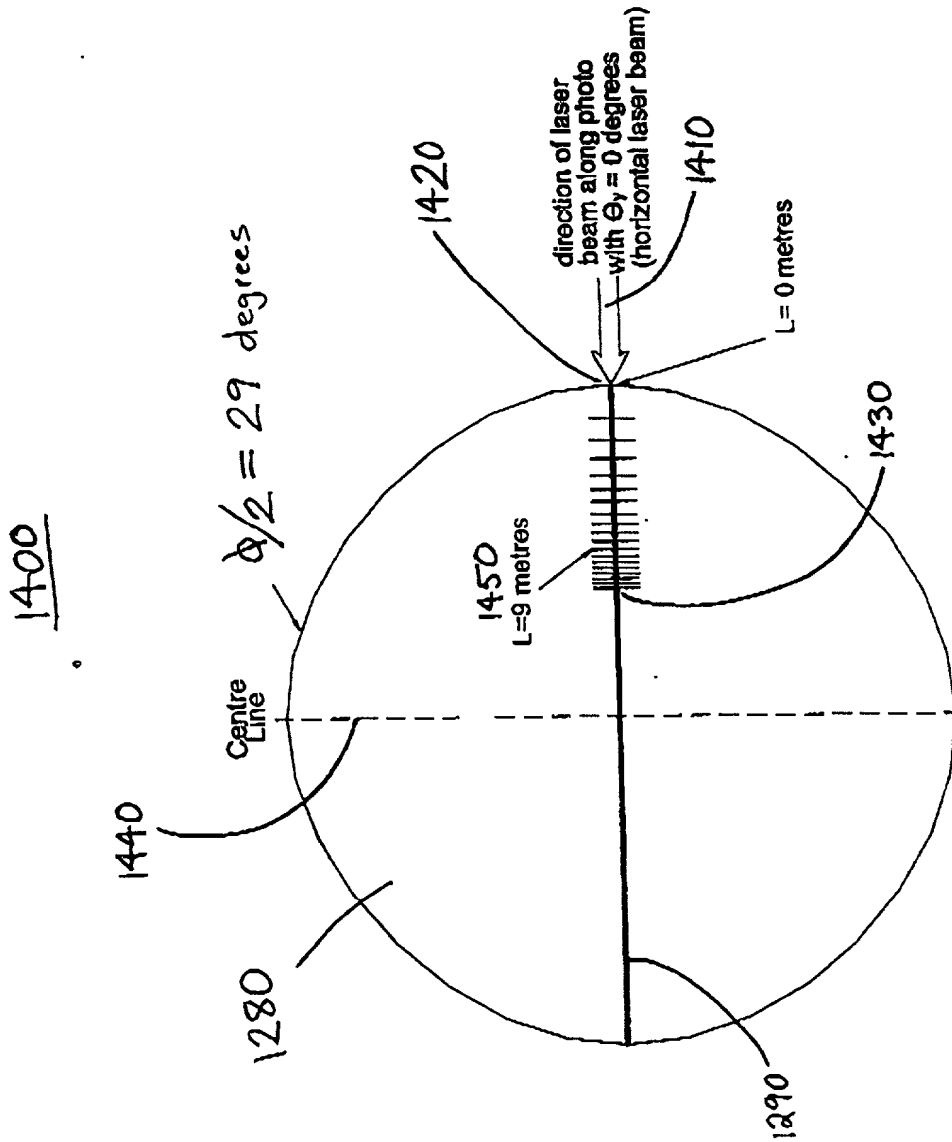


FIG. 14

1500

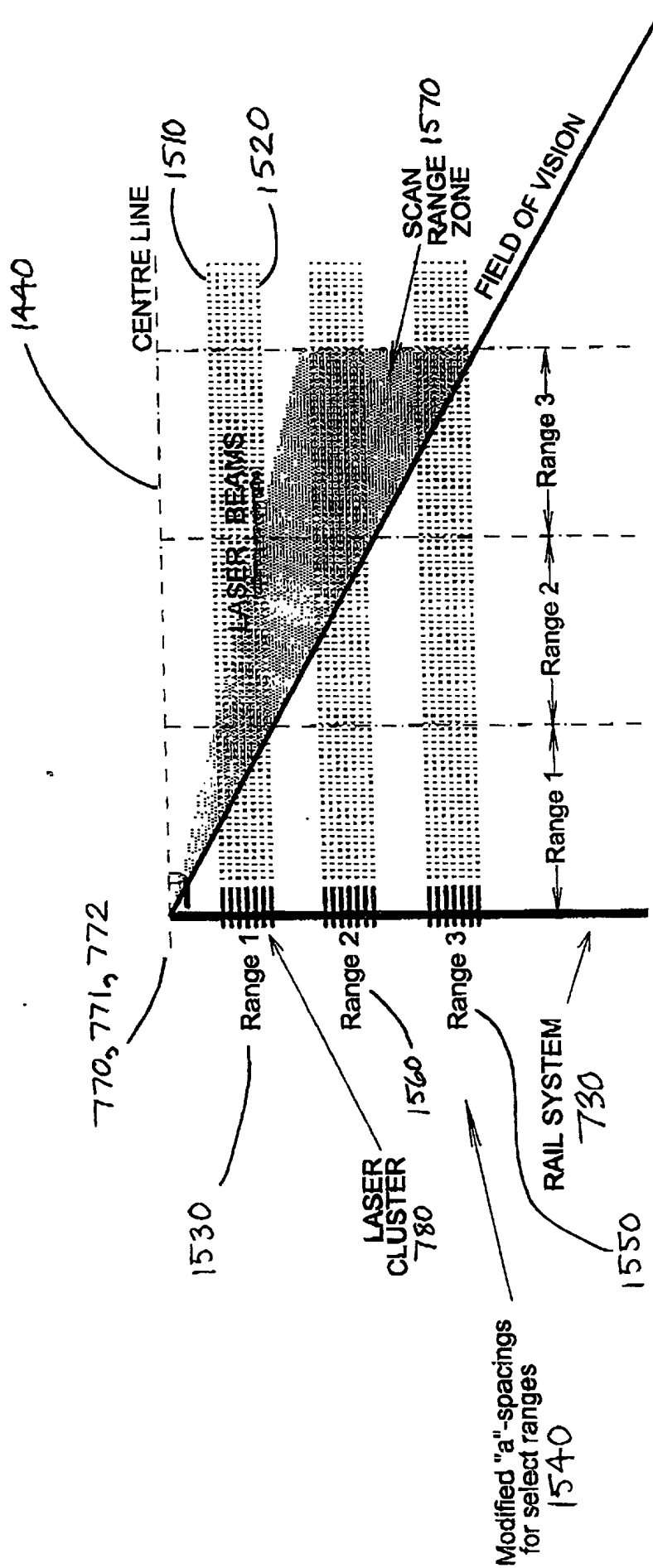


FIG. 15

<i>camera viewpoint angle (deg.)</i>	<i>distance centre-line to viewpoint</i>	<i>distance normalized,</i>
1.0000	0.0175	0.0315
2.0000	0.0349	0.0630
3.0000	0.0524	0.0945
4.0000	0.0699	0.1262
5.0000	0.0875	0.1578
6.0000	0.1051	0.1896
7.0000	0.1228	0.2215
8.0000	0.1405	0.2535
9.0000	0.1584	0.2857
10.0000	0.1763	0.3181
11.0000	0.1944	0.3507
12.0000	0.2126	0.3835
13.0000	0.2309	0.4165
14.0000	0.2493	0.4498
15.0000	0.2679	0.4834
16.0000	0.2867	0.5173
17.0000	0.3057	0.5516
18.0000	0.3249	0.5862
19.0000	0.3443	0.6212
20.0000	0.3640	0.6566
21.0000	0.3839	0.6925
22.0000	0.4040	0.7289
23.0000	0.4245	0.7658
24.0000	0.4452	0.8032
25.0000	0.4663	0.8412
26.0000	0.4877	0.8799
27.0000	0.5095	0.9192
28.0000	0.5317	0.9592
29.0000	0.5543	1.0000

ψ

FIG. 16

1710 1720 1730 1740

L	distance	ratio	# pixels
metres	metres	a/(a+b)	from CL
0.0000	0.0000	1.0000	5000
0.5000	0.2772	0.9475	4737
1.0000	0.5543	0.9002	4501
1.5000	0.8315	0.8574	4287
2.0000	1.1086	0.8185	4093
2.5000	1.3858	0.7830	3915
3.0000	1.6629	0.7504	3752
3.5000	1.9401	0.7205	3602
4.0000	2.2172	0.6928	3464
4.5000	2.4944	0.6672	3336
5.0000	2.7715	0.6434	3217
5.5000	3.0487	0.6212	3106
6.0000	3.3259	0.6005	3003
6.5000	3.6030	0.5812	2906
7.0000	3.8802	0.5631	2815
7.5000	4.1573	0.5460	2730
8.0000	4.4345	0.5300	2650
8.5000	4.7116	0.5148	2574
9.0000	4.9888	0.5006	2503
9.5000	5.2659	0.4870	2435
10.0000	5.5431	0.4742	2371
10.5000	5.8202	0.4621	2310
11.0000	6.0974	0.4506	2253
11.5000	6.3746	0.4396	2198
12.0000	6.6517	0.4291	2146
12.5000	6.9289	0.4192	2096
13.0000	7.2060	0.4096	2048
13.5000	7.4832	0.4005	2003
14.0000	7.7603	0.3918	1959
14.5000	8.0375	0.3835	1918
15.0000	8.3146	0.3755	1878
15.5000	8.5918	0.3679	1839
16.0000	8.8689	0.3605	1803
16.5000	9.1461	0.3535	1767
17.0000	9.4233	0.3467	1733
17.5000	9.7004	0.3401	1701
18.0000	9.9775	0.3338	1669
18.5000	10.2547	0.3278	1639
19.0000	10.5319	0.3219	1610
19.5000	10.8090	0.3163	1581
20.0000	11.0862	0.3108	1554
20.5000	11.3633	0.3056	1528
21.0000	11.6405	0.3005	1502
21.5000	11.9176	0.2955	1478
22.0000	12.1948	0.2908	1454
22.5000	12.4720	0.2862	1431
23.0000	12.7491	0.2817	1409
23.5000	13.0263	0.2774	1387
24.0000	13.3034	0.2732	1366
24.5000	13.5806	0.2691	1346
25.0000	13.8577	0.2651	1326
25.5000	14.1349	0.2613	1307
26.0000	14.4120	0.2576	1288
26.5000	14.6892	0.2539	1270
27.0000	14.9663	0.2504	1252
27.5000	15.2435	0.2470	1235
28.0000	15.5207	0.2437	1218
28.5000	15.7978	0.2404	1202
29.0000	16.0750	0.2372	1186
29.5000	16.3521	0.2342	1171
30.0000	16.6293	0.2312	1156

Laser Movement on Image

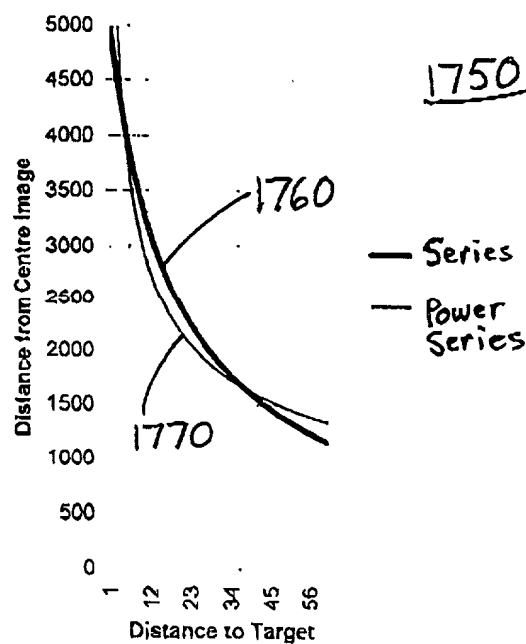


FIG. 17(b)

FIG. 17(a)

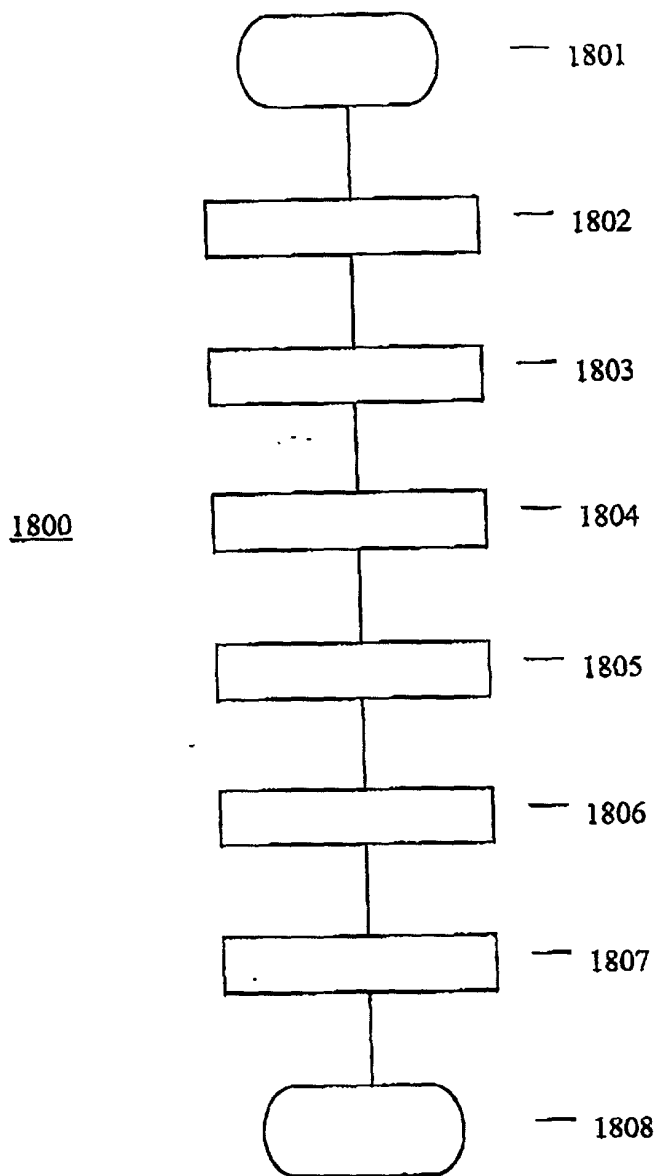


FIG. 18